

# Diferencia de potencial entre dos puntos

- Definimos la diferencia de potencial entre  $\vec{r}_i$  y  $\vec{r}_f$  como:

$$\Delta\varphi = - \int_{\vec{r}_i}^{\vec{r}_f} \vec{E} \cdot \vec{dl}$$

$C$

- En campos electrostáticos (conservativos), **esta integral de línea no depende del camino y sólo de las posiciones de  $\vec{r}_i$  y  $\vec{r}_f$**  :

$$\Delta\varphi = - \int_{\vec{r}_i}^{\vec{r}_f} \vec{E} \cdot \vec{dl} = \varphi(\vec{r}_f) - \varphi(\vec{r}_i)$$

# Gradiente del potencial y campo eléctrico

- Dado que la fuerza de Coulomb y el campo electrostático es conservativo, el diferencial de potencial

$$d\varphi = -\vec{E} \cdot \vec{dl}$$

- Es exacto

$$d\varphi = \frac{\partial \varphi}{\partial x} dx + \frac{\partial \varphi}{\partial y} dy + \frac{\partial \varphi}{\partial z} dz$$

- Entonces esto implica que:

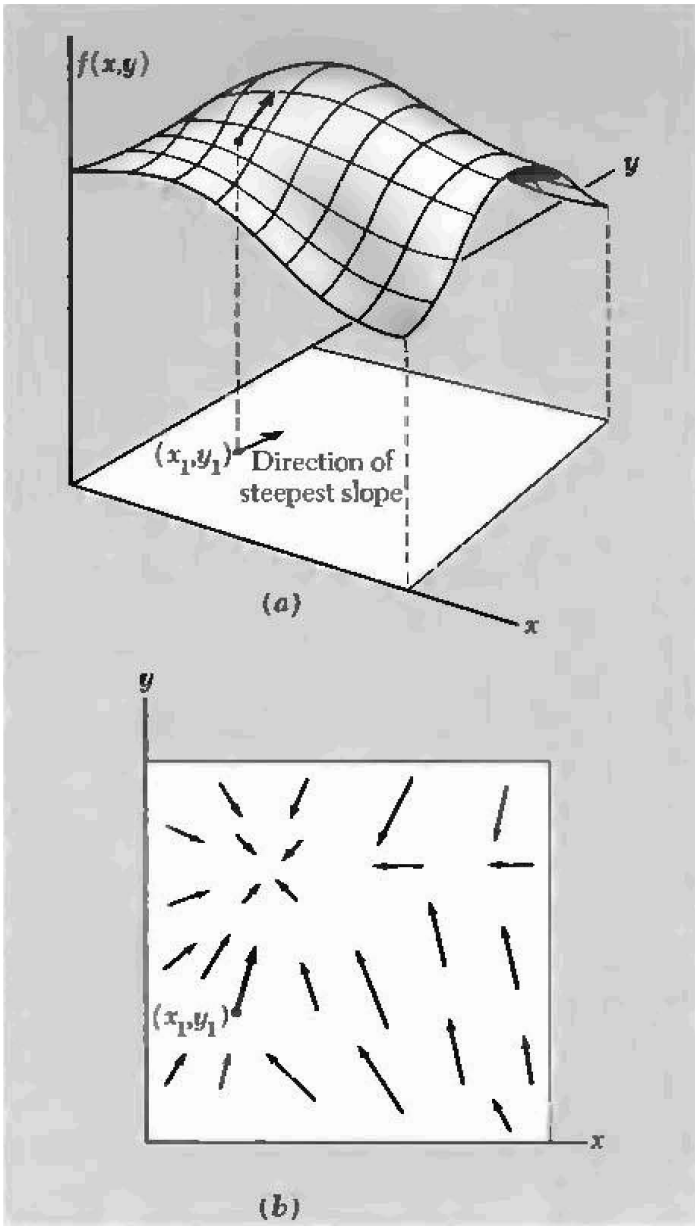
$$\vec{E} = -\vec{\nabla}\varphi$$

# Gradiente del potencial

- Dada una función  $f(x, y, z)$  derivable, el vector gradiente  $\vec{\nabla}f$  nos da la dirección de mayor crecimiento de la función  $f$  en el punto  $(x, y, z)$ .

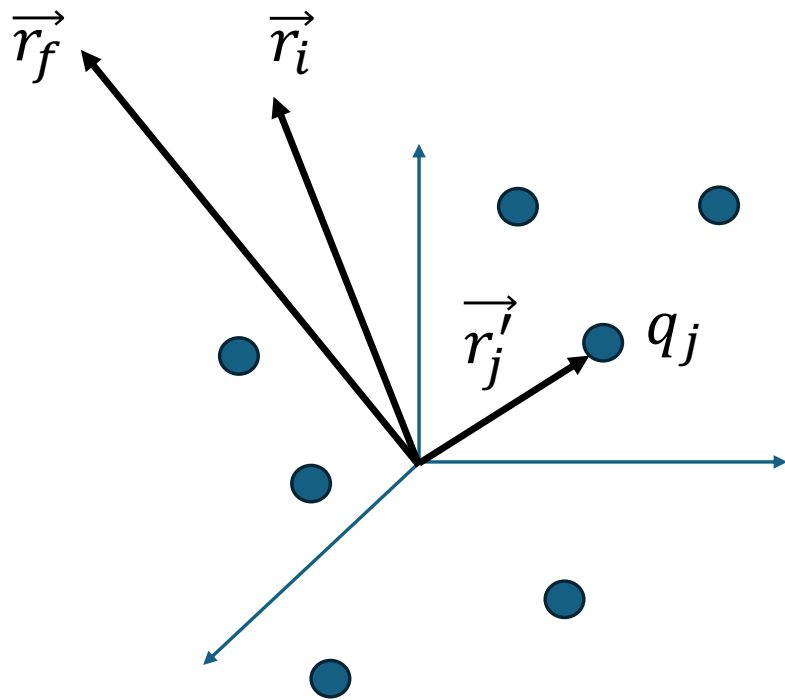
- En cartesianas

$$\vec{\nabla}f(x, y, z) = \frac{\partial f}{\partial x} \hat{x} + \frac{\partial f}{\partial y} \hat{y} + \frac{\partial f}{\partial z} \hat{z}$$



# Potencial de una distribución (acotada) de cargas

# Diferencia de potencial para $N$ cargas puntuales



- Supongamos un sistema de  $N$  cargas puntuales  $\{q_1 \dots q_j \dots q_N\}$  en posiciones  $\{\vec{r}'_1 \dots \vec{r}'_j \dots \vec{r}'_N\}$  acotadas.
- Evaluemos la diferencia de potencial entre dos puntos  $\vec{r}_i$  y  $\vec{r}_f$

$$\varphi(\vec{r}_f) - \varphi(\vec{r}_i) = - \int_{\vec{r}_i}^{\vec{r}_f} \vec{E} \cdot d\vec{l}$$

- $\vec{E}(\vec{r})$  es el campo resultante de los campos generados por las cargas  $\{q_1 \dots q_j \dots q_N\}$  en el punto  $\vec{r}$

$$\vec{E}(\vec{r}) = \sum_{j=1}^N \vec{E}_j(\vec{r})$$

# Diferencia de potencial para $N$ cargas puntuales

- De manera análoga, para un sistema de  $N$  cargas  $q_1 \dots q_N$  y por el principio de superposición.

$$\begin{aligned}\varphi(\vec{r}_f) - \varphi(\vec{r}_i) &= - \int_{\vec{r}_i}^{\vec{r}_f} \vec{E} \cdot d\vec{l} = - \int_{\vec{r}_i}^{\vec{r}_f} (\vec{E}_1 + \vec{E}_2 + \dots + \vec{E}_N) \cdot d\vec{l} \\ &= - \int_{\vec{r}_i}^{\vec{r}_f} \vec{E}_1 \cdot d\vec{l} - \int_{\vec{r}_i}^{\vec{r}_f} \vec{E}_2 \cdot d\vec{l} - \dots - \int_{\vec{r}_i}^{\vec{r}_f} \vec{E}_N \cdot d\vec{l}\end{aligned}$$

- Centrándonos en cada carga:

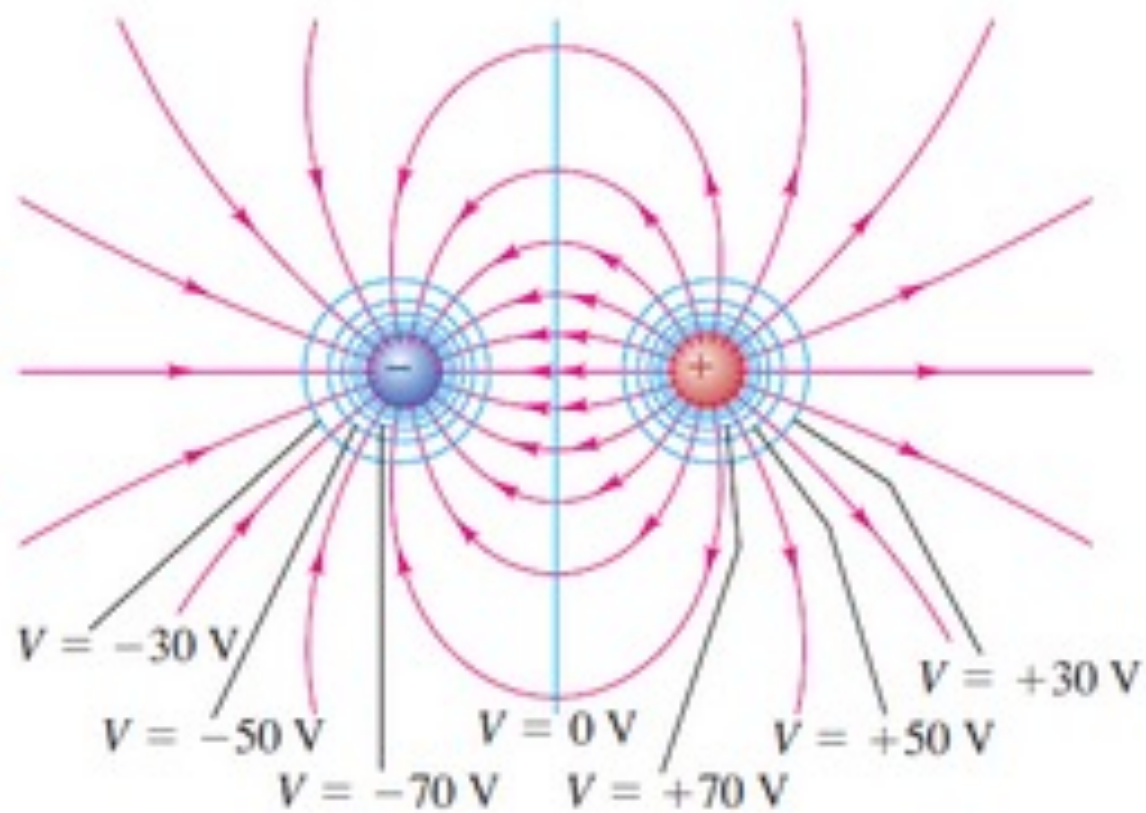
$$\varphi(\vec{r}_f) - \varphi(\vec{r}_i) = \frac{1}{4\pi\epsilon_0} \sum_{j=1}^N q_j \left[ \frac{1}{|\vec{r}_f - \vec{r}_j|} - \frac{1}{|\vec{r}_i - \vec{r}_j|} \right]$$

# Función potencial para $N$ cargas puntuales

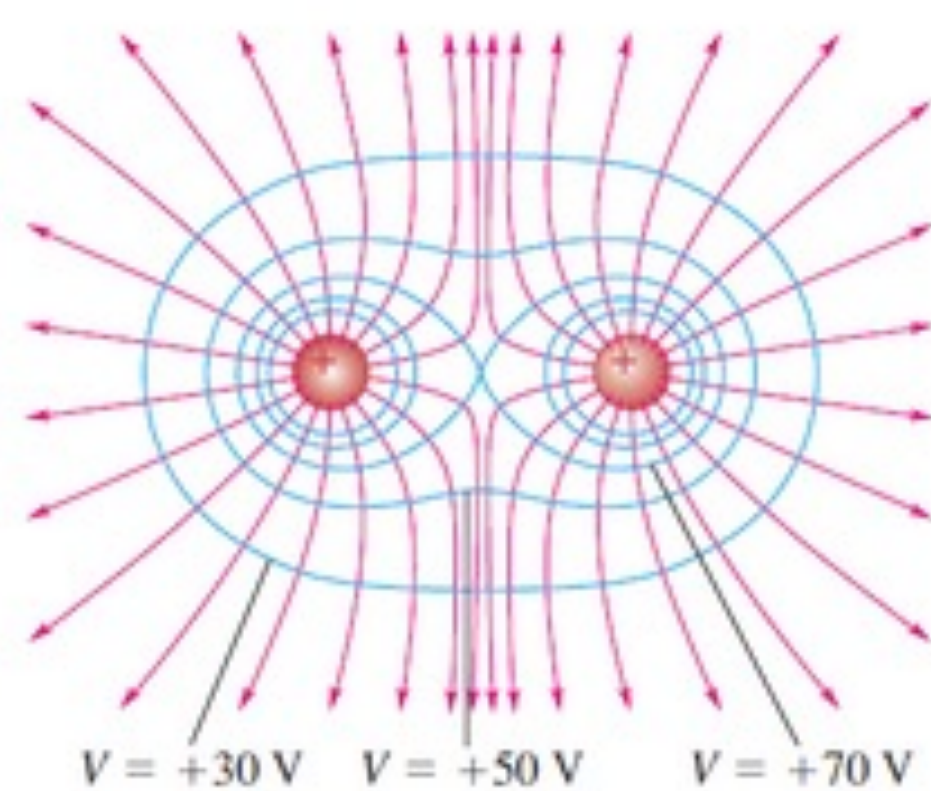
- Si la distribución es acotada en el espacio se puede poner como punto de potencial cero el infinito (es decir  $\lim_{r_i \rightarrow \infty} \varphi(\vec{r}_i) = 0$ ) y entonces, tomando  $\vec{r}_f = \vec{r}$ , tenemos:

$$\varphi(\vec{r}) = \frac{1}{4\pi\epsilon_0} \sum_{j=1}^N \frac{q_j}{|\vec{r} - \vec{r}_j|}$$

(b) An electric dipole



(c) Two equal positive charges



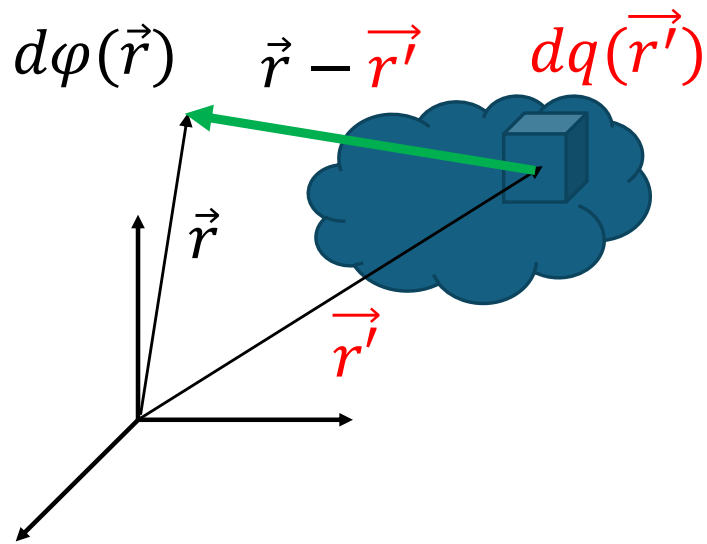
→ Electric field lines      — Cross sections of equipotential surfaces



# Potencial de una distribución continua y acotada de carga

- Por estar el campo electrostático y el potencial relacionados por un gradiente, que es un operador lineal, el principio de superposición vale también para la función potencial siempre y cuando tengan el mismo potencial de referencia.
- Si la distribución de cargas es acotada en el espacio, es conveniente poner el potencial de referencia muy lejos ( $r=\infty$ ) y con valor cero.
- Eso hacemos cuando calculamos el potencial de una carga al traer otra desde el infinito

# Potencial de una distribución continua y acotada de carga



- La contribución de un pedacito de carga  $dq(\vec{r}') = \rho(\vec{r}')dv'$  al potencial en  $\vec{r}$  es:

$$d\phi(\vec{r}) = \frac{1}{4\pi\epsilon_0} \frac{dq(\vec{r}')}{|\vec{r} - \vec{r}'|}$$

- Integrando sobre todo el volumen de la carga y tomando el potencial cero en el infinito:

$$\phi(\vec{r}) = \frac{1}{4\pi\epsilon_0} \iiint \frac{\rho(\vec{r}')dv'}{|\vec{r} - \vec{r}'|}$$

## Otras distribuciones:

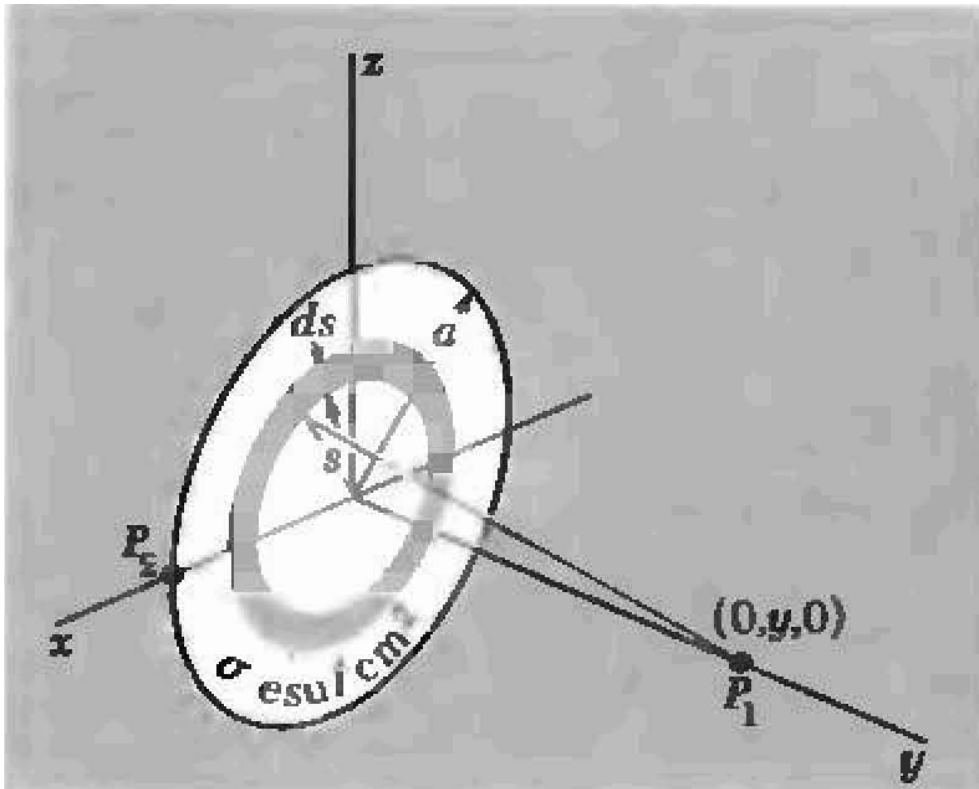
- Distribución lineal:  $dq(\vec{r}') = \lambda(\vec{r}') dl'$

$$\varphi(\vec{r}) = \frac{1}{4\pi\epsilon_0} \int \frac{\lambda(\vec{r}') dl'}{|\vec{r} - \vec{r}'|}$$

- Distribución superficial:  $dq(\vec{r}') = \sigma(\vec{r}') da'$

$$\varphi(\vec{r}) = \frac{1}{4\pi\epsilon_0} \iint \frac{\sigma(\vec{r}') da'}{|\vec{r} - \vec{r}'|}$$

# Ejemplo: disco cargado uniformemente



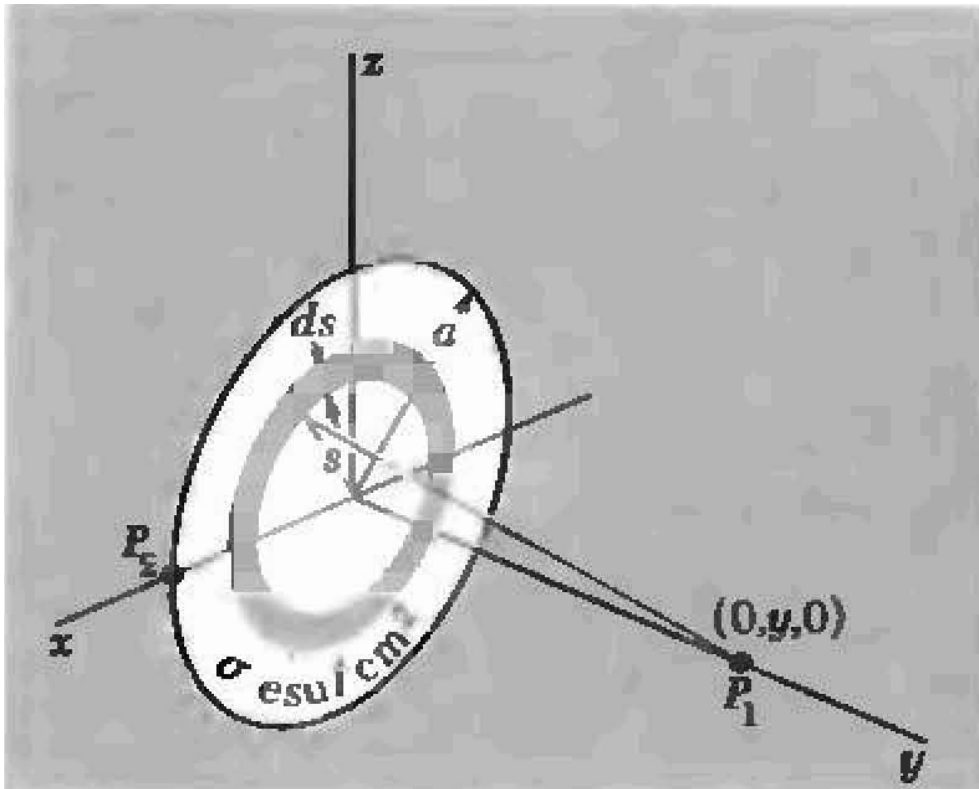
- Distribución acotada ✓
  - Radio  $a$
  - Grosor despreciable
  - $\sigma = \text{constante}$  ( $\frac{C}{m^2}$ )
- Calculemos el potencial en el punto  $P_1$  sobre el eje de simetría  $y$ .

$$dq = \sigma da'$$

$$da' = 2\pi s ds$$

( $da'$  área de un anillo de radio  $s$  y ancho  $ds$ ).

# Ejemplo: disco cargado uniformemente



- La distancia del anillo al  $P_1$   $(0, y, 0)$  es:

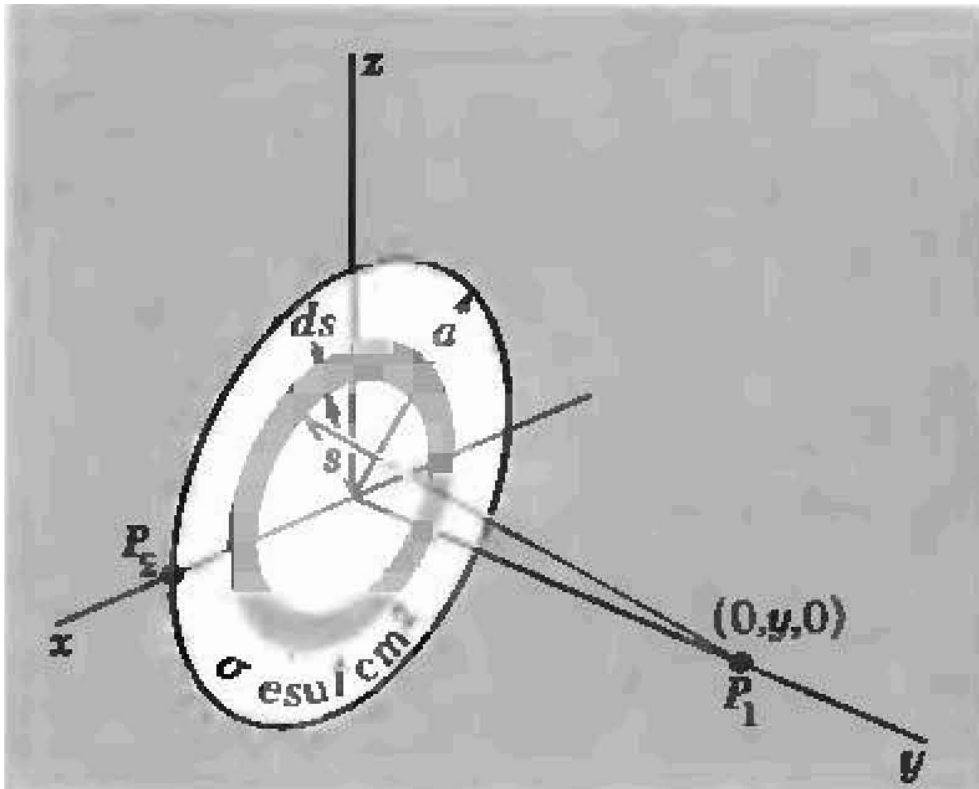
$$\sqrt{y^2 + s^2}$$

- Poniendo el cero de potencial en el infinito

$$\varphi(y) = \frac{1}{4\pi\epsilon_0} \int \frac{dq}{\sqrt{y^2 + s^2}}$$

$$= \frac{1}{4\pi\epsilon_0} \int_0^a \frac{\sigma 2\pi s ds}{\sqrt{y^2 + s^2}}$$

# Ejemplo: disco cargado uniformemente



- La integral queda

$$\varphi(y) = \frac{\sigma}{4\epsilon_0} \int_0^a \frac{2s ds}{\sqrt{y^2 + s^2}} =$$

$$\varphi(y) = \frac{\sigma}{4\epsilon_0} \left[ \sqrt{y^2 + a^2} - |y| \right]$$

Simetría respecto a  $y = 0$

# El potencial lejos de una distribución

- Volvamos al caso de un disco uniformemente cargado. El potencial a lo largo del eje de simetría daba:

$$\varphi(y) = \frac{\sigma}{2\epsilon_0} \left[ \sqrt{y^2 + a^2} - |y| \right]$$

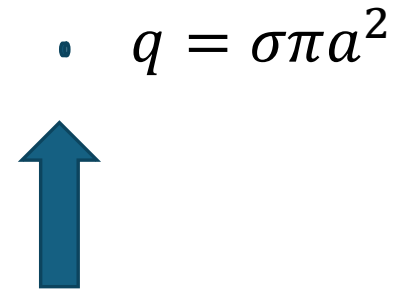
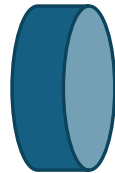
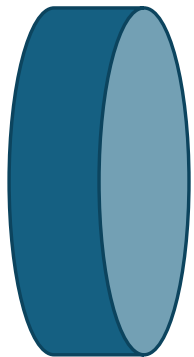
- Nos interesa saber a qué se parece el potencial a distancias grandes. Para  $|y| \gg a$  podemos aproximar por serie de Taylor el término

$$\begin{aligned} \sqrt{y^2 + a^2} - y &= y \left[ \sqrt{1 + \frac{a^2}{y^2}} - 1 \right] \\ &= y \left[ 1 + \frac{1}{2} \left( \frac{a^2}{y^2} \right) \dots - 1 \right] \approx \frac{a^2}{2y} \end{aligned}$$

# El potencial lejos de una distribución

- Reemplazando la aproximación, tenemos

$$\varphi(0,y,0) \approx \frac{a^2\sigma}{4\epsilon_0 y} = \frac{q}{4\pi\epsilon_0 y} \text{ para } y \gg a$$



De lejos sólo se ve una carga puntual

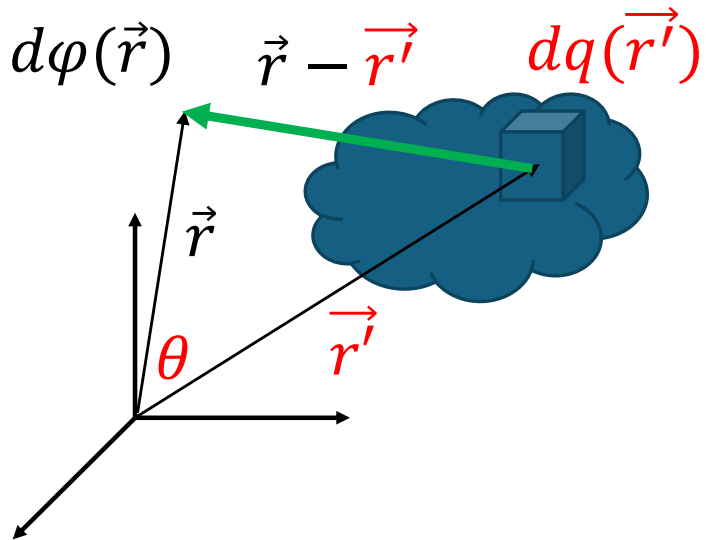


# Momentos de una distribución de carga

- Un átomo o molécula consta de cargas en disposiciones complejas en volúmenes del orden de  $10^{-24}$  cm.
- ¿Qué aspectos de la estructura de la carga son los más importantes cuando vemos el potencial/campo a grandes distancias de las distribuciones de carga?

# Momentos de una distribución de carga

- Supongamos una distribución acotada  $\rho(\vec{r}')$  y un punto  $\vec{r}$  exterior a la distribución.

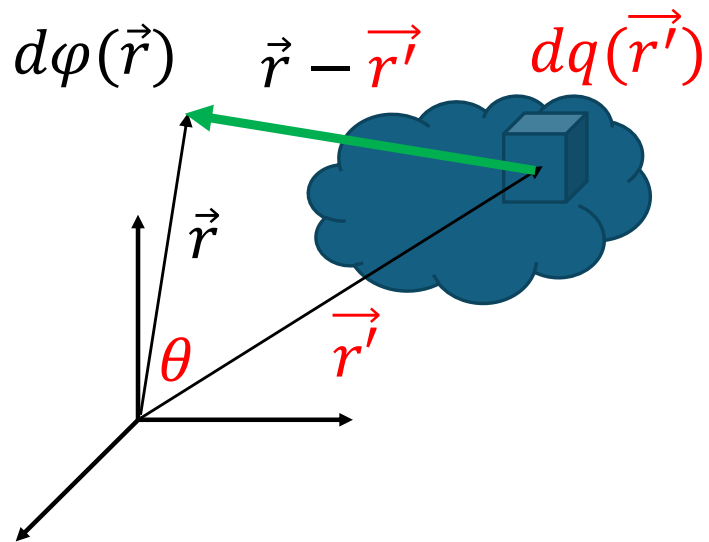


$$\varphi(\vec{r}) = \frac{1}{4\pi\epsilon_0} \iiint \frac{\rho(\vec{r}') dv'}{|\vec{r} - \vec{r}'|}$$

- Tomemos la distancia  $R$  tal que:

$$R = |\vec{r} - \vec{r}'|$$

# Momentos de una distribución de carga



- Reescribiendo tenemos:

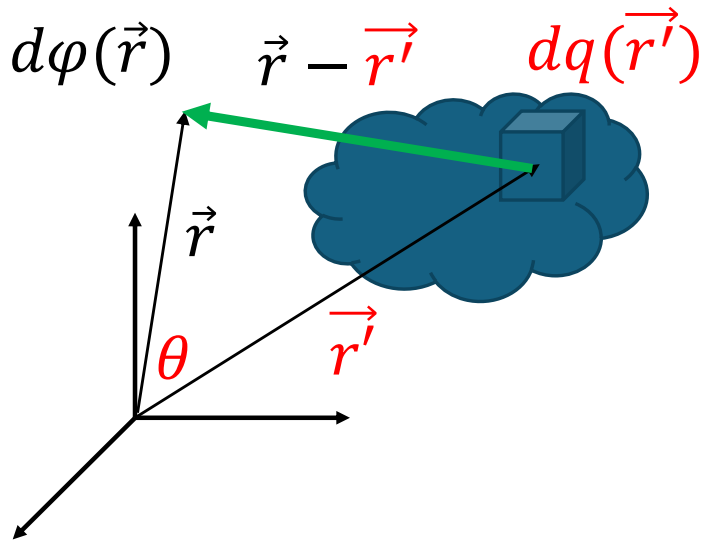
$$\varphi(\vec{r}) = \frac{1}{4\pi\epsilon_0} \iiint \frac{\rho(\vec{r}') dv'}{R}$$

- Expresamos  $R$  en función de las distancias  $r$  y  $r'$  desde el origen del sistema de coordenadas. Por el teorema del coseno

$$R = [r^2 + r'^2 - 2rr' \cos \theta]^{1/2}$$

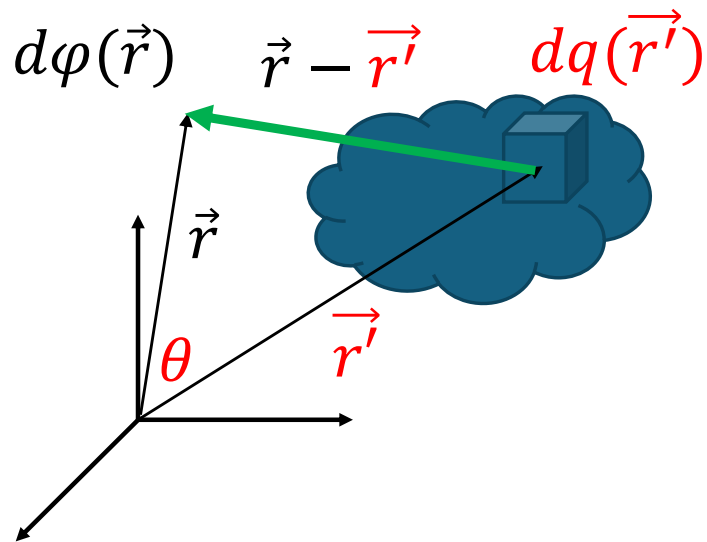
# Momentos de una distribución de carga

- La idea es ver qué pasa cuando  $r \gg r'$ .  
Veamos un poco el factor  $R^{-1}$ :



$$[r^2 + r'^2 - 2rr' \cos \theta]^{-1/2} = \frac{1}{r} \left[ 1 + \left( \frac{r'^2}{r^2} - \frac{2r'}{r} \cos \theta \right) \right]^{-1/2}$$

# Momentos de una distribución de carga



- La idea es ver qué pasa cuando  $r \gg r'$ .  
Veamos un poco el factor  $R^{-1}$ :

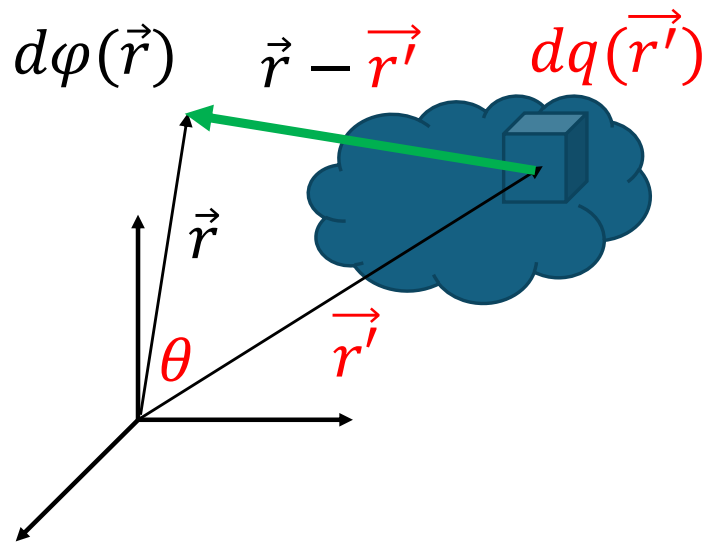
$$[r^2 + r'^2 - 2rr' \cos \theta]^{-1/2} = \frac{1}{r} \left[ 1 + \left( \frac{r'^2}{r^2} - \frac{2r'}{r} \cos \theta \right) \right]^{-1/2}$$

- Podemos hacer el desarrollo en Taylor de  $R^{-1}$  para  $r'/r \ll 1$ . Tomando el desarrollo

$$(1 + \delta)^{-1/2} = 1 - \frac{1}{2}\delta + \frac{3}{8}\delta^2 \dots$$

para  $\delta \ll 1$

# Momentos de una distribución de carga



- Tomando esta expansión el factor  $R^{-1}$  queda:

$$= \frac{1}{r} \left[ 1 + \frac{r'}{r} \cos \theta + \left( \frac{r'}{r} \right)^2 (3 \cos^2 \theta - 1) + \left( \begin{array}{c} \text{términos de} \\ \text{grado superior} \end{array} \right) \right]$$

más grande >>>>>>>>>>>> más chico

- Entonces, reemplazando en  $\varphi(\vec{r})$

$$\begin{aligned} \varphi(\vec{r}) = & \frac{1}{4\pi\epsilon_0} \underbrace{\frac{1}{r} \int \rho dv'}_{K_0} + \frac{1}{4\pi\epsilon_0} \underbrace{\frac{1}{r^2} \int r' \cos \theta \rho dv'}_{K_1} \\ & + \frac{1}{4\pi\epsilon_0} \underbrace{\frac{1}{r^3} \int r'^2 (3 \cos^2 \theta - 1) \rho dv'}_{K_2} + \dots \end{aligned}$$

# Momentos de una distribución de carga

- Entonces  $\varphi(\vec{r})$  lejos de la distribución puede escribirse como una serie de términos de importancia decreciente (fijarse el exponente de  $1/r$ )

$$\varphi(\vec{r}) = \frac{1}{4\pi\epsilon_0} \frac{1}{r} \underbrace{\int \rho dv'}_{K_0} + \frac{1}{4\pi\epsilon_0} \frac{1}{r^2} \underbrace{\int r' \cos \theta \rho dv'}_{K_1} + \frac{1}{4\pi\epsilon_0} \frac{1}{r^3} \underbrace{\int r'^2 (3 \cos^2 \theta - 1) \rho dv'}_{K_2} + \dots$$

- La clave es calcular los coeficientes  $K_0, K_1, K_2$ , etc. Cada término se denomina momento.

# Momentos de una distribución de carga

- ¿Hace falta calcular todos los  $K_i$ ?
- No! El comportamiento del potencial a grandes distancias de la fuente estará determinado por el **primer término no nulo** de la serie:

$$\varphi(\vec{r}) = \frac{1}{4\pi\epsilon_0} \left[ \frac{K_0}{r} + \frac{K_1}{r^2} + \frac{K_2}{r^3} + \dots \right]$$



## Los coeficientes $K_0$ y $K_1$

- $K_0 = \int \rho(\vec{r}') dv'$  es simplemente la carga total de la distribución (da cero para moléculas y átomos neutros).

- Si  $K_0 = 0$ , calcularemos

$$K_1 = \int r' \cos \theta \rho(\vec{r}') dv'$$

Momento dipolar

## Los coeficientes $K_0$ y $K_1$

- Para simplificar esta expresión consideremos el vector

$$\vec{p} = \int \vec{r}' \rho(\vec{r}') dv'$$

- Entonces:

$$\begin{aligned} \hat{r} \cdot \vec{p} &= \hat{r} \cdot \int \vec{r}' \rho(\vec{r}') dv' = \int \hat{r} \cdot \vec{r}' \rho(\vec{r}') dv' = \\ &= \int r' \cos \theta \rho(\vec{r}') dv' = K_1 \end{aligned}$$

- Por lo tanto:

$$K_1 = \hat{r} \cdot \vec{p}$$

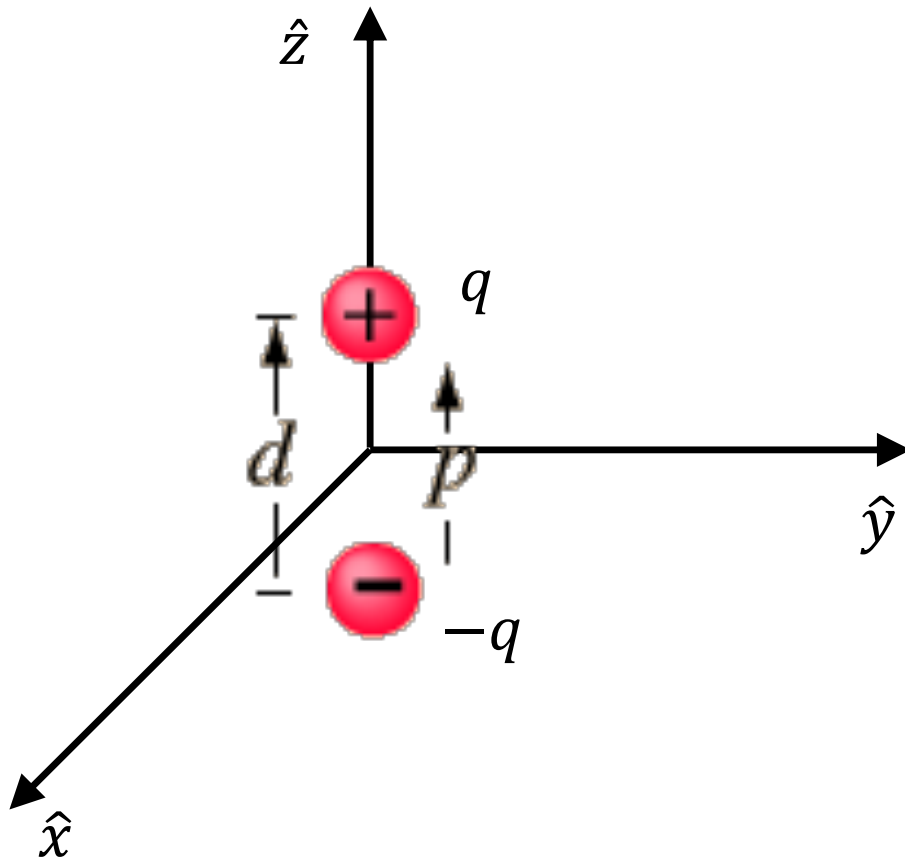
## Los coeficientes $K_0$ y $K_1$

- Resumiendo, para un punto en dirección  $\hat{r}$  y a una distancia  $r$  de una distribución acotada  $\rho(\vec{r}')$ , el potencial viene dado por:

$$\varphi(\vec{r}) = \frac{Q}{r} + \frac{\hat{r} \cdot \vec{p}}{r^2} + \frac{K_2}{r^3} + \dots$$

- Donde  $Q = K_0 = \int \rho(\vec{r}') dv'$  y  $\vec{p} = \int \vec{r}' \rho(\vec{r}') dv'$

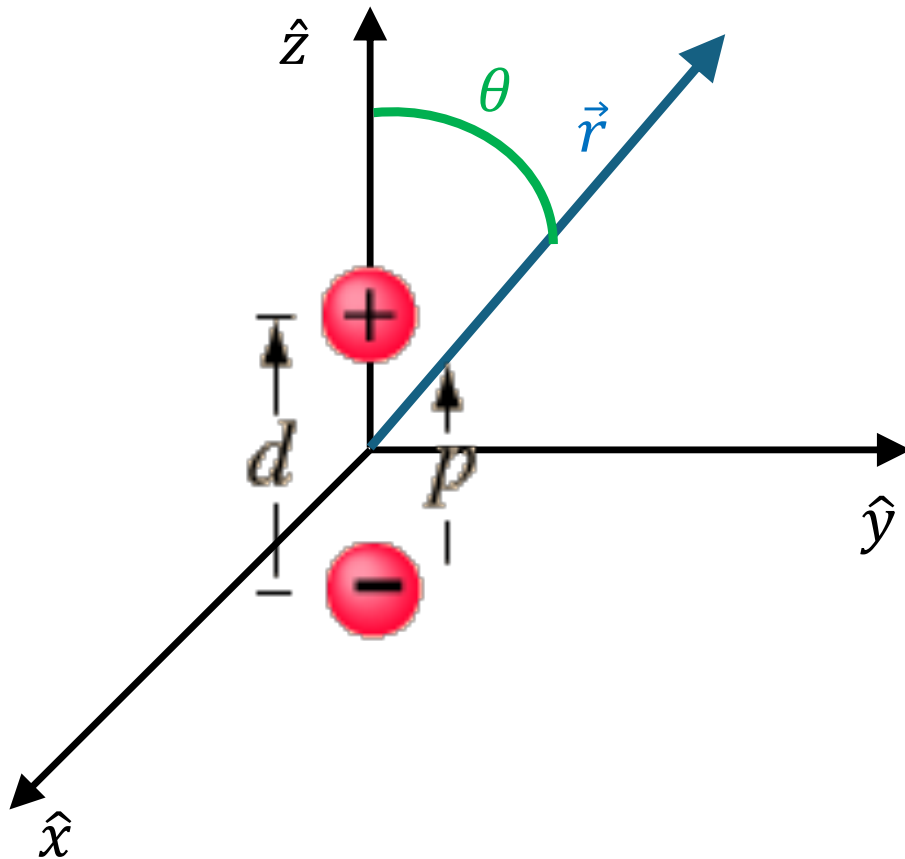
## Ejemplo: Potencial lejano de un dipolo



- Dos cargas puntuales  $\pm q$  en  $z = \mp \frac{d}{2}$
- $K_0 = 0$
- Veamos  $K_1$ . Para cargas puntuales

$$\vec{p} = \sum_{i=1}^N \vec{r}'_i q_i$$

# Ejemplo: Potencial lejano de un dipolo



- Centro del SC equidistante de las cargas:

$$\vec{p} = \frac{d}{2} q \hat{z} + \left(-\frac{d}{2}\right) (-q) \hat{z} = qd \hat{z}$$

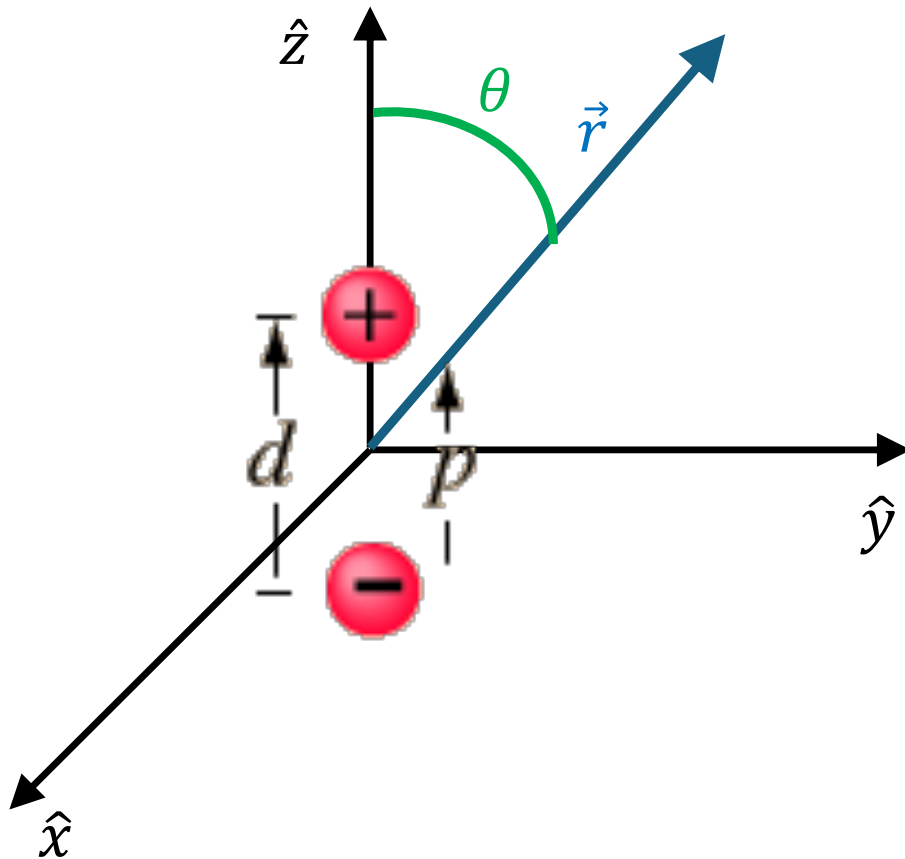
- Por lo tanto

$$K_1 = \hat{r} \cdot \vec{p} = qd \cos \theta$$

- Y entonces, lejos del dipolo

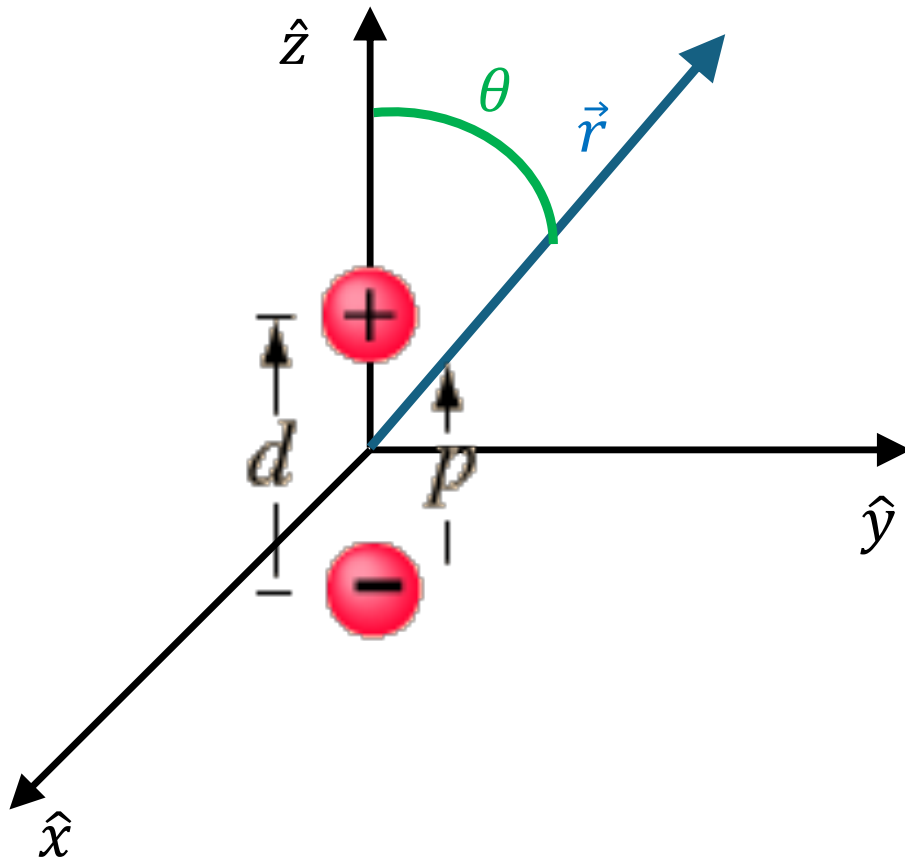
$$\varphi(\vec{r}) = \frac{1}{4\pi\epsilon_0} \frac{K_1}{r^2} = \frac{1}{4\pi\epsilon_0} \frac{qd \cos \theta}{r^2}$$

# Ejemplo: Campo lejano de un dipolo



- Calculemos el campo  $\vec{E}$   
$$\vec{E} = -\vec{\nabla}\varphi$$
- Tanto el potencial como el campo son simétricos alrededor del eje  $\hat{z}$ .
- Podemos calcular el potencial en cartesianas en algún plano que contenga al eje  $z$ . Por ejemplo el plano  $xz$

# Ejemplo: Campo lejano de un dipolo



- En el plano  $xz$ , tenemos

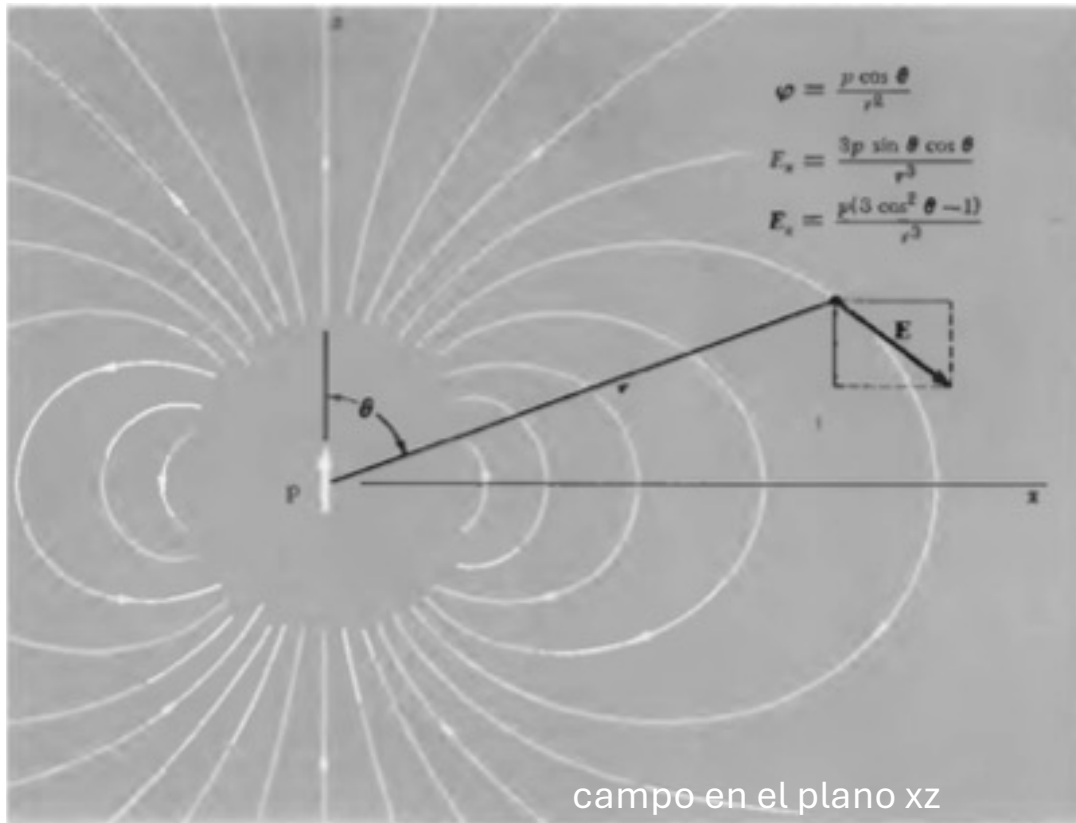
$$\cos \theta = \frac{z}{\sqrt{x^2 + z^2}}$$

$$r = \sqrt{x^2 + z^2}$$

- Entonces, en el plano  $xz$  el potencial en cartesianas se escribe:

$$\varphi(\vec{r}) = \frac{1}{4\pi\epsilon_0} \frac{pz}{(x^2 + z^2)^{3/2}}$$

# Ejemplo: Campo lejano de un dipolo



$$\begin{aligned}\varphi &= \frac{p \cos \theta}{r^2} \\ E_x &= \frac{3p \sin \theta \cos \theta}{r^3} \\ E_z &= \frac{p(3 \cos^2 \theta - 1)}{r^3}\end{aligned}$$

- Calculemos el campo en el plano xz

$$\vec{E} = -\vec{\nabla}\varphi = -\left[\frac{\partial\varphi}{\partial x}\hat{x} + \frac{\partial\varphi}{\partial z}\hat{z}\right]$$

- Sabiendo además que:

$$\sin \theta = \frac{x}{\sqrt{x^2 + z^2}}$$

- En el plano xz,  $E_y = 0$  y entonces:

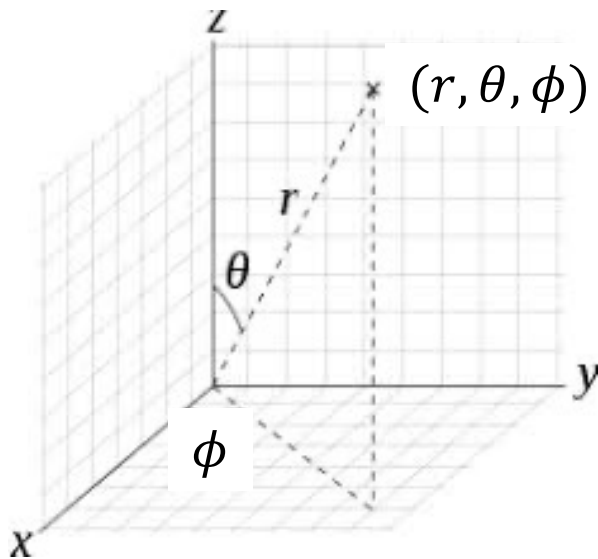


## Ejemplo: Campo lejano de un dipolo

$$E_x = - \frac{\partial \varphi}{\partial x} = \frac{1}{4\pi\epsilon_0} \frac{3pxz}{(x^2 + z^2)^{5/2}} = \frac{1}{4\pi\epsilon_0} \frac{3p \operatorname{sen} \theta \cos \theta}{r^3}$$

$$E_z = - \frac{\partial \varphi}{\partial z} = \frac{1}{4\pi\epsilon_0} p \left[ \frac{3z^2}{(x^2 + z^2)^{5/2}} - \frac{1}{(x^2 + z^2)^{3/2}} \right]$$
$$= \frac{1}{4\pi\epsilon_0} \frac{p(3 \cos^2 \theta - 1)}{r^3}$$

# Ejemplo: Campo lejano de un dipolo



- También podemos hacer el cálculo del campo en esféricas.
- Esta vez la solución vale para todo el espacio
- El gradiente en esféricas es:

$$\vec{\nabla}\varphi = \frac{\partial\varphi}{\partial r} \hat{r} + \frac{1}{r \sin\theta} \frac{\partial\varphi}{\partial\phi} \hat{\phi} + \frac{1}{r} \frac{\partial\varphi}{\partial\theta} \hat{\theta}$$

# Ejemplo: Campo lejano de un dipolo

- Usando

$$\varphi(\vec{r}) = \frac{1}{4\pi\epsilon_0} \frac{K_1}{r^2} = \frac{1}{4\pi\epsilon_0} \frac{p \cos \theta}{r^2}$$

- El campo en esféricas es:

$$\vec{E} = \frac{2}{4\pi\epsilon_0} \frac{p \cos \theta}{r^3} \hat{r} + \frac{1}{4\pi\epsilon_0} \frac{p \sin \theta}{r^3} \hat{\theta}$$

- Poloidal y decae como  $r^{-3}$

